

Tehnici de interacțiune utilizator cu obiecte 3D modelate prin particule

Denisa Copândeian, Adrian Sabou, Dorian Gorgan

Universitatea Tehnică Cluj-Napoca – UTCN

Str. Memorandumului nr. 28, Cluj-Napoca

E-mail: denisa_s_86@yahoo.com, {adrian.sabou, dorian.gorgan}@cs.utcluj.ro

Rezumat. Pentru a dezvolta aplicații flexibile, cu un grad ridicat de interactivitate, trebuie înțelese capacitățile și limitele utilizatorului și ale calculatorului. Interacțiunea dintre utilizator și obiectele modelate este asigurată prin informația care se primește și se transmite. De asemenea, pentru a dezvolta sisteme interactive, trebuie să se țină cont de modul în care contextul și modelul sunt definite și dezvoltate. În cazul nostru, am determinat faptul că modelarea prin particule introduce provocări în ceea ce privește interacțiunea în mediul virtual, fiind necesară dezvoltarea unor tehnici de interacțiune particularizate pentru a simula operațiile naturale ale utilizatorului. Această lucrare prezintă tehnici de interacțiune a utilizatorului cu obiecte deformabile modelate prin tehnica particulelor, precum selecția, manipularea și secționarea în volum. De asemenea, sunt descrise conceptele și tehnicile care stau la baza acestor interacțiuni, precum tehnica “*bounding volume*” și implementarea instrumentului virtual care realizează secționarea. Nu în ultimul rând sunt descrise provocările care apar în realizarea interacțiunii într-o scenă tridimensională folosind dispozitive de intrare bidimensionale precum mausul.

Cuvinte cheie: obiecte volumetrice 3D, paralelism, lamă, tăiere.

1. Introducere

Una din tendințele graficii pe calculator este aceea de a emula cât mai fidel realitatea ce ne înconjoară. Realitatea virtuală reprezintă o simulare generată de calculator a unui mediu tridimensional în care utilizatorul este capabil să vizualizeze și să manipuleze conținutul acestui mediu. Utilizatorul unui sistem virtual are libertatea de a explora lumea creată de calculator și de a interacționa direct cu ea.

În lucrarea de față se prezintă un simulator de modelare a obiectelor volumetrice 3D dinamice reprezentate prin particule. Acestea au un comportament natural, realist, conform unui set de legi fizice bine definite, spre deosebire de modelele definite analitic care se comportă de fiecare dată la fel având astfel un caracter previzibil. Implementarea legilor fizice

presupune multe calcule costisitoare care pot altera simularea. Pentru a îmbunătăți puterea de calcul a sistemului, modelul a fost dezvoltat cu ajutorul tehnologiei OpenCL, care profită de puterea de calcul a unităților de prelucrare grafică (GPU). Mai exact, fiecare particulă este procesată la nivel de “*thread*”, fir de execuție, și în paralel cu celelalte particule.

Utilizatorul poate crea obiecte volumetrice 3D realiste cu parametri configurabili și poate urmări comportamentul acestor obiecte într-o scenă în care sunt simulate forțele fizice newtoniene. El poate interacționa cu obiectele volumetrice 3D prin intermediul unor operații precum selecția, manipularea și tăierea. Pentru operația de tăiere, utilizatorul folosește o lamă de secționare predefinită sau creată de el în timpul simulării.

S-a urmărit optimizarea operației de tăiere, care este extrem de costisitoare din punctul de vedere al resurselor de calcul necesare. Am propus spre implementare metoda “*bounding volume*” (încadrare volumetrică). Modul în care această tehnică este utilizată, pentru a aduce îmbunătățiri operației de tăiere, este prezentat în secțiunea “Optimizarea operației de tăiere: *bounding volume*”.

În secțiunea “Lucrări asemănătoare” se prezintă o serie de lucrări care au abordat un subiect similar. În secțiunile “Simularea modelului 3D” și “Modelarea instrumentului de tăiere”, se face o prezentare a modelului 3D manipulat, a motorului fizic în care are loc simularea și, a modelului lamei de tăiat. Rezultatele experimentelor realizate prin interacțiunea utilizatorului cu aplicația se prezintă în secțiunea “Experimente – Operațiile de interacțiune”. De asemenea, se prezintă concluziile obținute în secțiunea “Concluzii și dezvoltări ulterioare”.

2. Lucrări asemănătoare

Având drept scop familiarizarea cu animația bazată pe legile fizicii, Barbic (Barbic, J., 2010) prezintă o formă simplă de modelare 3D bazată pe particule, iar Bourke (Bourke, P., 1998) realizează o scurtă introducere în domeniul sistemelor de particule. De-a lungul timpului sistemele de particule au fost utilizate în diferite moduri. Spre exemplu, Min Hong et al (Min Hong et al, 2005) folosește un sistem de particule în care resorturile doar conectează particulele și descriu distanța dintre acestea în urma aplicării unor forțe externe. Astfel sistemul de particule nu deține informații volumetrice. Acest principiu îl întâlnim și la Sylvester Arnab et al

(Sylvester Arnab și Vinesh Raja, 2013). Conectarea unui sistem de particule pentru a se simula un obiect volumetric se poate face în mai multe moduri. Cele mai des întâlnite topologii sunt cele prin care obiectul este modelat cu ajutorul unei rețele în interiorul căreia legăturile se fac într-o schemă triunghiulară sau de patrulater (Barbic, J., 2010). Conectarea sistemului este foarte importantă dacă legile fizicii sunt integrate numeric. Matthias Muller et al (Matthias Muller et al, 2008) prezintă în notițele sale de curs modul în care simularea este îmbunătățită prin integrarea ecuațiilor fizice în metodele și algoritmi actuali de simulare, incluzând cei bazați pe sisteme de particule. David Baraff et al. (David Baraff, 1998) prezintă avantajele utilizării metodelor de integrare numerică implicită în simularea textilelor. Autorii au demonstrat că integrarea implicită poate să ofere performanțe superioare prin faptul că permite pași de simulare mult mai mari, fără a suferi de instabilitatea inerentă integrării explicite. Și Joachim Georgii et al (J. Georgii et al, 2005) a optat pentru o astfel de simulare. De aceea, am optat pentru o modelare bazată pe particule care implică integrarea numerică. Integrarea numerică necesită o mulțime de operații costisitoare. Pentru a contracara acest deficit particulele sunt prelucrate la nivelul unităților de procesare grafică (GPU - Graphical Processing Unit). Pentru a obține un comportament al modelului cât mai real trebuie să găsim un echilibru între constantele care dictează comportamentul modelului, constante precum cea a lui Hook, de atenuare, densitatea modelului, masa unei particule, timpul de integrare (Δt) etc. Articolul „Deformation Constraints in a Mass-Spring Model to Describe Rigid Cloth Behavior” (Provot, 1996) explică fenomenul „super elastic” care reprezintă una dintre cele mai mari probleme ce pot să apară la simularea de suprafețe textile, fie ele 2D sau 3D. De asemenea, articolul prezintă condiția critică de a nu obține acest fenomen, precum și o metodă de a anula acest efect nedorit dacă nu se ține cont de respectiva condiție.

Pentru înglobarea de legi fizice în cadrul unei aplicații grafice în timp real, este folosit de obicei un motor fizic (physics engine), (Bose M. și Rajagopala V., 2012). Firth (Firth P., 2011) prezintă principalele componente ale unui motor fizic într-un spațiu 2D: modele, constrângeri, coliziuni etc. Pornind de la ideea de modelare folosind GPU, descrisă de Sabou (Sabou Adrian, 2012), am extins motorul fizic de simulare utilizat pentru a manipula nu doar obiecte bidimensionale ci și tridimensionale.

Motorul fizic este dezvoltat cu ajutorul tehnologiei OpenCL, Open Computing Language (Munshi, A., 2009). OpenCL este un cadru de lucru pentru scrierea de programe care se execută pe platforme heterogene formate din unități centrale de procesare (CPU), unități de procesare grafică și alte procesoare. Acesta include un limbaj (bazat pe C99) pentru a scrie funcții (kernels, care se execută pe dispozitive OpenCL), plus interfețe de programare a aplicațiilor (API - Application Programming Interface), care sunt folosite pentru a defini și pentru a controla apoi platformele. De asemenea, cadrul OpenCL se îmbină perfect cu tehnologia OpenGL prin obiectele sale de tip “*buffer*”, care pot fi accesate din ambele părți fără a fi necesară copierea lor.

Una dintre cele mai des întâlnite tehnici de interacțiune este selecția. În această lucrare, selecția este realizată cu ajutorul metodei “*raycast*”, prin care un pixel este calculat ca intersecția dintre raza vizuală ce pornește de la observator și obiectul volumetric. John Pawasauskas (John Pawasauskas, 1997) utilizează această tehnică pentru a prezenta date medicale în spațiul 3D. Manipularea se bazează pe operația de selecție și aplică o forță exterioară obiectului manipulat. Sistemul prezentat nu se limitează doar la aceste interacțiuni de bază, ci oferă suport și pentru alte interacțiuni, precum secționarea, mișcarea în scenă și altele. O prezentare sumară a sistemului și a tehnicilor implementate, se face în lucrarea publicată la Conferința Națională de Interacțiune Om-Calculator (Copândeian D. et al, 2013).

3. Simularea modelului 3D

Corpurile din viața reală pot fi approximate, într-o măsură mai mare sau mai mică, prin sisteme de puncte discrete. Pentru a se menține ca o entitate stabilă, între constituenții unui astfel de sistem, sau între aceștia și corpurile exterioare, trebuie să se exercite forțe de atracție sau forțe de legătură.

În cazul sistemelor de puncte discrete, există două categorii distincte de forțe: forțe interne și forțe externe. Forțele de interacțiune dintre perechile de particule constituente ale sistemului se numesc forțe interne. Forțele de interacțiune dintre particulele sistemului și alte corpuri sau câmpuri de forțe din exteriorul acestuia se numesc forțe externe.

3.1 Modelul 3D

Structura modelului fizic

Cel mai simplu model de particule pentru simularea unui obiect volumetric dinamic este modelul mass-spring. Acest model este format din particule. Particulele sunt caracterizate de masă, poziție și viteză și sunt interconectate între ele prin resorturi. O particulă poate fi un punct de masă care are o anumită poziție și o anumită viteză la un anumit moment dat. Modul în care resorturile conectează particulele între ele și diferența de putere a fiecărui resort influențează comportamentul obiectului ca un tot unitar.

Pentru a recrea cele trei proprietăți ale unui obiect volumetric și anume rezistența la întindere, îndoire și tăiere avem nevoie să folosim trei tipuri de resorturi. Fiecare tip de resort modelează una din cele trei tipuri de comportament ale unui obiect volumetric real. Resorturile se clasifică în funcție de rigiditatea lor și de modul în care conectează particulele.

Primul tip, numit resort structural ("*structural spring*"), definește structura de bază a obiectelor volumetrice și modelează faptul că obiectele reale nu se întind foarte mult. Aceste resorturi simulează faptul că un obiect volumetric este alcătuit din fibre longitudinale și transversale. Al doilea tip de resorturi sunt numite resorturi de rupere ("*shear springs*") și fac ca rezistența obiectului volumetric la rupere să fie mai mare. Aceste resorturi ajută obiectul volumetric să păstreze o anumită formă și nu lasă particulele să cadă una în cealaltă, să se apropie sau să se îndepărteze prea tare. Aceste resorturi conectează particulele pe diagonală în fiecare dreptunghi format de către resorturile structurale. Al treilea tip de resorturi sunt resorturi de îndoire ("*bend springs*"). Aceste resorturi fac ca îndoirea obiectului volumetric simulat să fie mai dificilă.

Definirea modelului

Pentru a defini un model, cu atât mai mult unul de tip mass-spring, vom utiliza doi dintre cei trei parametri care descriu un model volumetric 3D: pasul (densitatea), dimensiunea și numărul de particule. Metoda utilizată de aplicația descrisă în această lucrare este cea care utilizează pasul și dimensiunea. Având acești doi parametri ca intrare, putem deduce numărul de particule. Deoarece se simulează un obiect volumetric 3D, dimensiunea

este dată de trei variabile: lungimea, lățimea și înălțimea obiectului. Pasul care redă densitatea unui obiect se aplică în aceeași măsură atât pe lungime, cât și pe lățime și înălțime. Dacă pasul este mare, obiectul volumetric nu este foarte dens. În schimb, dacă pasul este mic, obiectul volumetric are o densitate mai mare de particule (Figura 1).

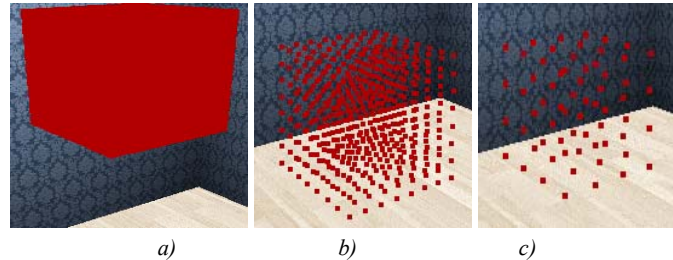


Figura 1. Model cu pas: a) mic; b) mediu; c) mare.

Astfel, numărul total de particule care alcătuiesc modelul mass-spring al unui obiect 3D se determină după formula:

$$N = (l/p + 1) * (L/p + 1) * (h/p + 1) \quad (1)$$

unde l reprezintă lățimea, L lungimea, h înălțimea, p pasul și N numărul total de particule.

3.2 Motorul fizic

Distribuția paralelă

Motorul fizic a fost implementat și extins folosind calculul paralel la nivel de model bazat pe multithreading. Tehnologia care oferă suport de multithreading pe acceleratoare hardware grafice și pe care am ales-o pentru a implementa motorul de simulare este OpenCL.

OpenCL oferă calcul paralel folosind un paralelism pe task-uri sau pe date. De asemenea, oferă acces la unitatea de procesare grafică pentru calcule non-grafice. Astfel, OpenCL extinde puterea unității de procesare grafică. Motorul fizic bazându-se pe această tehnologie simulează fizica newtoniană folosind variabile precum masa, viteza, frecarea și rezistența vântului. Modelul poate simula și prezice efecte sub diferite condiții care aproximează ce se întâmplă în realitate.

De asemenea motorul permite modelarea și manipularea obiectelor volumetrice 3D într-un mod cât mai natural prin intermediul dispozitivelor standard de intrare. Fiecare particulă va fi procesată de un fir de execuție care va rula nucleul OpenCL. Acest nucleu realizează atât procesul de simulare unde are loc integrarea în timp real a forțelor ce acționează asupra modelului, cât și detecția și răspunsul la coliziune.

Integrarea numerică în timp real

Acest proces se realizează parcurgând următorii pași:

1. Simularea fizică a dinamicii unui sistem de particule de tip mass-spring se poate realiza parcurgând următorii pași: cumularea tuturor forțelor ce acționează asupra particulelor, atât forțele ce apar în interiorul rețelei de particule de la resorturile care conectează particulele între ele, cât și, forțele externe precum gravitația, vântul, alte forțe ce acționează asupra unor particule etc. Forțele externe le includ și pe cele ce rezultă în urma ciocnirii sau a interacțiunii cu alte obiecte din mediu.

2. Calcularea accelerației particulelor rezultate din aceste forțe.

3. Actualizarea vitezelor particulelor și pozițiile acestora folosind accelerațiile calculate.

Integrarea în timp real este dată de legea a doua de mișcare a lui Newton, calculând accelerația fiecărei particule la un moment dat. Aceasta este implementată prin metoda Verlet, iar vitezele se calculează printr-o formă simplificată, folosind formula:

$$v(t + \Delta t) = v(t) + a(t) * \Delta t \quad (2)$$

Coliziunea

Coliziunea reprezintă procesul fizic de ciocnire. Ciocnirea a două sau mai multe corpuri reprezintă un proces de interacțiune care durează un timp foarte scurt. Motorul fizic trebuie să îndeplinească două funcționalități legate de coliziune: detecție și răspuns. O dată detectată coliziunea, e necesar să se aplice răspunsul de îndreptare, de corecție a coliziunii. Acest răspuns se mai numește și rezoluție a coliziunii.

Metoda de rezoluție aplicată în lucrarea de față se bazează pe principiul conservării impulsului. Coliziunea luată în considerare, în implementarea

curentă, este doar față de pereții încăperii. Principala problemă întâlnită este coliziunea între particule. Sistemul este creat pentru a simula un număr foarte mare de particule, astfel că detecția coliziunii dintre particule ar duce la un timp foarte mare de calcul care ar altera trasarea obiectului volumetric 3D, simularea nemaifiind realizată în timp real. Pentru a rezolva această problemă se urmărește mărirea puterii de calcul, și anume trecerea procesării pe mai multe unități de calcul, spre exemplu, utilizarea unui *cluster*. Un prim pas pentru îmbunătățirea puterii de calcul este optimizarea „colaborării” dintre tehnologiile folosite. Pentru a optimiza „colaborarea” OpenCL-OpenGL s-au dezvoltat obiecte (ex: VBO) și metode specifice. Această „colaborare” poartă numele de „interoperabilitatea OpenCL-OpenGL”. Totuși, în lucrarea de față, urmărim doar modelarea instrumentului de tăiere și experimentarea tehnicilor de interacțiune cu acest instrument.

4. Modelarea instrumentului de tăiere

Operația de tăiere funcționează prin secționarea legăturilor dintre particule și nu prin scindarea particulelor, astfel numărul total de particule nu crește ci rămâne același de fiecare dată când are loc o tăiere.

4.1 Algoritm de tăiere

Operația de tăiere are loc în funcție de un plan. Acest plan este vizualizat ca o lamă. Practic, secționarea se determină matematic. Planul lamei se definește cu ajutorul a trei puncte din plan: punctul de început al lamei și punctul de sfârșit al lamei definesc linia de tăiere și, punctul „direcție”. Orientarea lamei este dată de dreapta care trece prin punctul "direcție" și este perpendiculară pe lungimea lamei. Având acești parametri, se trece la pasul următor al algoritmului de tăiere care constă în calcularea distanței de la plan la fiecare particulă. În cadrul algoritmului de tăiere, formula distanței de la un punct la o dreaptă se aplică fără modulul numărătorului, deoarece dorim să știm pe care parte a planului se află particula. Mai exact dacă distanța este pozitivă particula se află în semi-spațiul pozitiv determinat de respectivul plan, adică în fața planului, iar dacă este negativă particula se află în semi-spațiul negativ al planului respectiv, adică în spatele planului.

De asemenea se calculează pentru fiecare particulă distanța de la fiecare particulă vecină la planul lamei. Dacă notăm distanța particulei la planul lamei cu d_1 și cu d_2 distanța de la particula vecină la planul lamei, atunci avem următoarele cazuri:

1. $d_1 < 0$ și $d_2 < 0$ – ambele particule se află în semi-spațiu negativ, iar legătura dintre particule nu se taie;
2. $d_1 > 0$ și $d_2 > 0$ – ambele particule se află în semi-spațiu pozitiv, iar legătura dintre particule nu se taie;
3. $d_1 < 0$ și $d_2 > 0$ – particula curentă se află în semi-spațiul negativ, iar particula vecină se află în semi-spațiul pozitiv, deci resortul dintre particule este eliminat, se taie;
4. $d_1 > 0$ și $d_2 < 0$ – particula curentă se află în semi- spațiul pozitiv, iar particula vecină se află în semi- spațiul negativ, deci resortul dintre particule este eliminat, se taie;
5. $d_1 = 0$ sau $d_2 = 0$ – particula curentă, respectiv vecină, se consideră în semi-spațiul pozitiv, încadrându-se astfel în unul din cazurile descrise mai sus.

4.2 Definirea lamei

Lama reprezintă obiectul virtual de tăiere în cadrul simulării. Precum un cuțit adevărat, lama are un singur tăiș. Acest tăiș este definit ca o dreaptă dată de două puncte: punctul de început (punctul A) și punctul de sfârșit (punctul B). Odată definit tăișul se poate determina forma fizică a lamei. Pornind de la punctul A și punctul B se calculează punctul A' și punctul B' ținând cont de lățimea lamei stabilită la început.

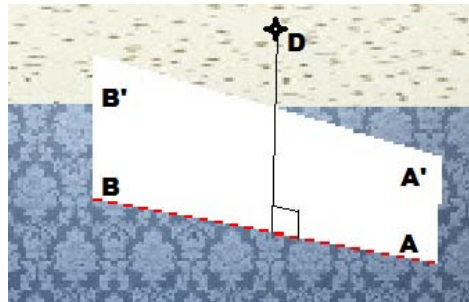


Figura 2. Modelul lamei

Totuși, înainte de a calcula punctele A' și B' trebuie determinată orientarea lamei. Astfel se alege un punct D din spațiu, ce va determina orientarea lamei. Acest punct va fi proiectat pe tăișul lamei, după care se va calcula dreapta ce trece prin punctul D și prin proiecția acestuia. Perpendiculara reprezintă orientarea lamei și pe baza ei se vor calcula punctele A' și B' (Figura 2). Punctele A' și B' se determină utilizând noua orientare (d) și valoarea lățimii (l):

$$\begin{aligned} A' &= A + d * l \\ B' &= B + d * l \end{aligned} \quad (3)$$

4.3 Deplasarea lamei

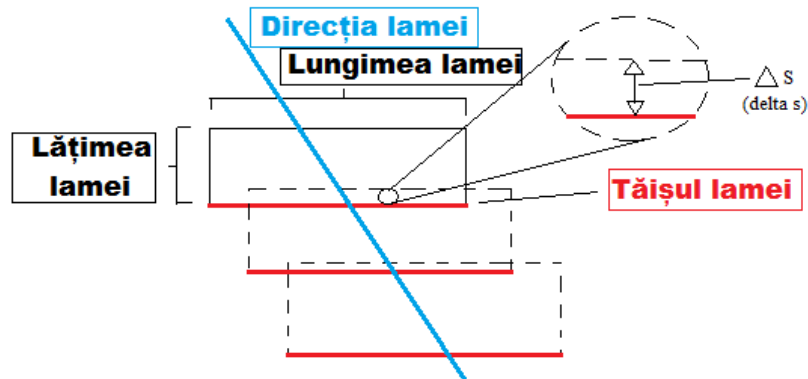


Figura 3. Deplasarea lamei

După cum se poate observa și în figura 3, Δs (delta s) reprezintă viteza de deplasare a lamei. Lama se deplasează pe o direcție dată. Algoritmii de tăiere se bazează pe analiza particulelor. Pentru fiecare particulă analizată se testează dacă vecinii săi se află în celălalt semispațiu definit de planul lamei. În caz afirmativ legătura dintre cele două particule este distrusă. Astfel, dacă Δs este foarte mic, se vor repeta multe calcule, dar există o posibilitate mică de a rămâne particule netestate. Adică, pentru particula cu albastru din figura 4, algoritmul de tăiere se aplică de mai multe ori, chiar dacă ea a fost analizată o dată.

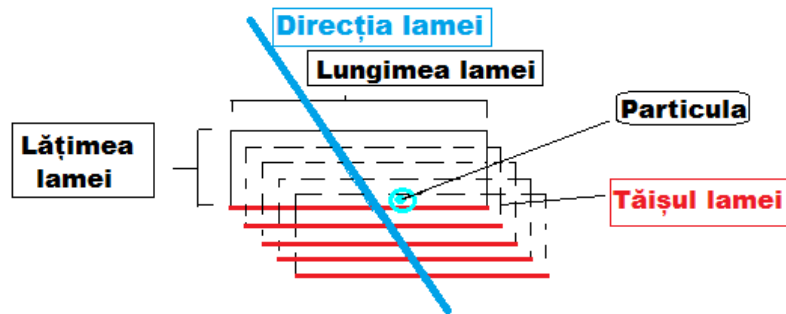


Figura 4. Deplasarea lamei cu Δs mic

Dacă Δs este foarte mare unele particule nu sunt testate, iar secționarea nu se realizează corespunzător (Figura 5).

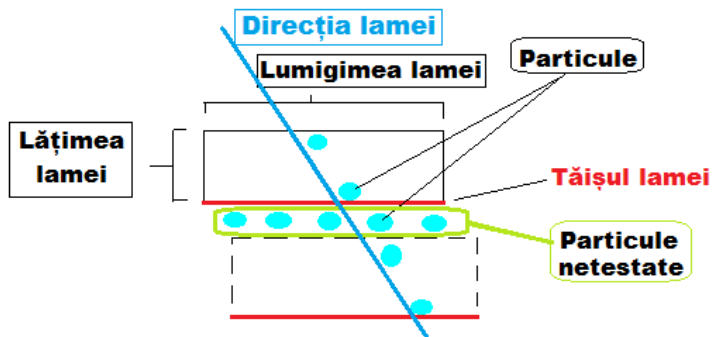


Figura 5. Deplasarea lamei cu Δs mare

Deci Δs trebuie să fie în intervalul $(0, \text{lățime})$ pentru ca algoritmul de tăiere să funcționeze corect.

4.4 Controlul interactiv al deplasării lamei

În timpul simulării se poate schimba oricând direcția de deplasare a lamei (Figura 6). Pentru a avea control prin manipularea directă a mișcării lamei de tăiat, este necesar doar redefinirea punctului D în spațiu și reluarea

calculelor pentru determinarea perpendicularei dreptei AB ce trece prin punctul D.

Lama taie doar pe orientarea definită de perpendiculara DC, însă ea poate fi poziționată în spațiu și se poate deplasa și pe sensul opus orientării DC dar fără a tăia.

De asemenea, în timpul simulării se poate schimba și pasul de deplasare a lamei.

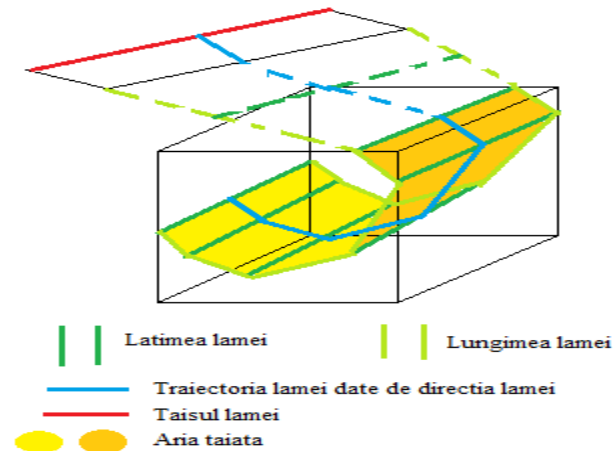


Figura 6. Controlul interactiv al deplasării lamei

A acțiunile de control ale utilizatorului sunt interceptate cu ajutorul funcțiilor predefinite din OpenGL. Fiecare acțiune are asociată o valoare care afectează parametrii definiției ai lamei.

Pentru a realiza operația efectivă de secționare trebuie să deplasăm lama. Dacă lama se deplasează pe orientarea ei va tăia legăturile întâlnite. În caz contrar, caz în care lama se deplasează în sens opus, nu va tăia nimic chiar dacă întâlnește obiectul volumetric 3D.

4.5 Optimizarea operației de tăiere: “*bounding volume*”

Algoritmul de tăiere este unul foarte costisitor atât în timp cât și în resurse, deoarece utilizează foarte multe operații de înmulțire și împărțire și mulți radicali. Practic se calculează distanța la plan pentru particula curentă, apoi pentru toți vecinii săi, care sunt în număr de maxim 24 (6 vecini

structurali, 12 vecini în forfecare și 6 vecini de îndoire). Pentru a optimiza algoritmul de tăiere trebuie să optimizăm analiza particulelor.

Se știe faptul că o operație de comparare nu este una costisitoare. De aceea primul pas al optimizării analizei particulelor este de a defini o primă extensie a lamei (Figura 7).

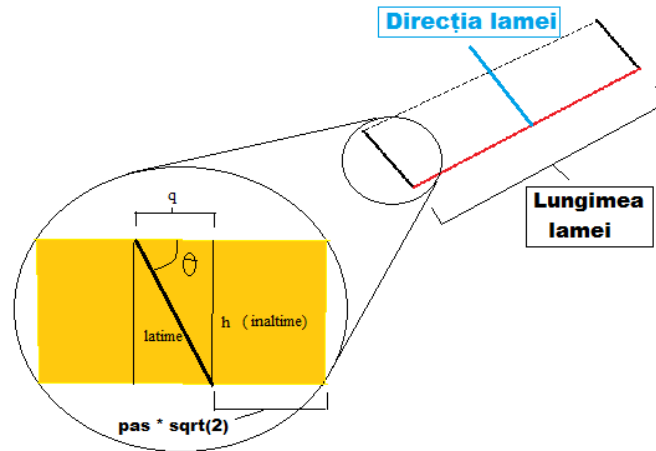


Figura 7. Definierea extensiei lamei

Determinarea parametrilor definiției ai extensiei lamei, unde l reprezintă lățimea lamei :

$$\begin{aligned} h &= l * \sin(\theta) \\ q &= l * \cos(\theta) \end{aligned} \quad (4)$$

Volumul extensiei, unde L reprezintă lungimea și p pasul lamei, va fi:

$$[h * (q + 2 * p * \sqrt{2})] * L \quad (5)$$

Toate particulele din interiorul volumului extensiei ($x_{\min} \leq x_{\text{particulă}} \leq x_{\max}$, $y_{\min} \leq y_{\text{particulă}} \leq y_{\max}$, $z_{\min} \leq z_{\text{particulă}} \leq z_{\max}$) vor fi testate de către algoritmul de tăiere. Totuși sunt multe particule de testat. De aceea s-a mai introdus încă o optimizare în ceea ce privește analiza particulelor. Pentru

particulele din volumul extensiei se va calcula distanța la planul lamei. Dacă aceasta este mai mică sau egală cu densitatea ($pasul$) * $\sqrt{2}$ pentru resorturile de forfecare și densitatea ($pasul$)/2 pentru resorturile structurale și de îndoire, atunci se va aplica algoritmul de tăiere, în caz contrar particula e prea departe și nu are legături ce trebuie tăiate (Figura 8).

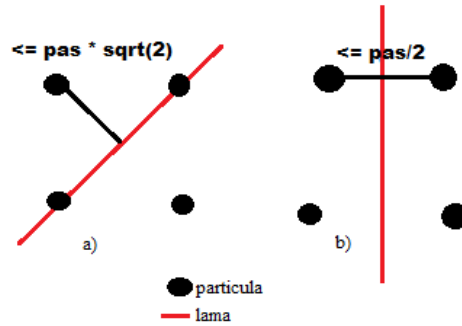


Figura 8. Optimizare bazată pe distanță

5. Experimente – Operațiile de tăiere

5.1 Selecția

Pentru a efectua interacțiunea de selecție, respectiv deselecție trebuie să se facă clic în scenă și dacă este întâlnită o particulă cu tehnica Raycast acesteia i se va schimba culoarea (devine selectată/deselectată – Figura 9).

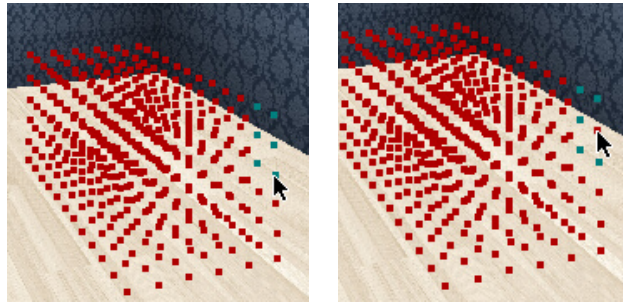


Figura 9. Selecție/Deselecție

5.2 Prindere și tragere

Această tehnică se bazează pe tehnica de selecție. Se poate realiza ținând apăsat butonul stânga al dispozitivului maus și modificând poziția cursorului. Modelul își modifică poziția în funcție de forța imprimată (Figura 10).

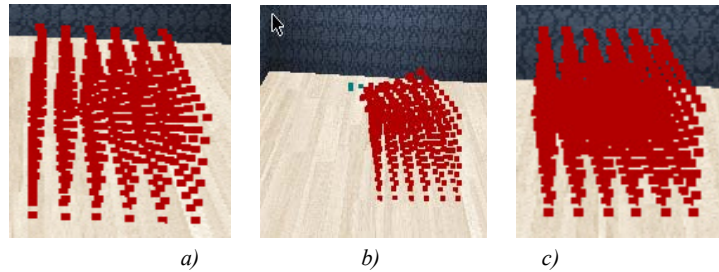


Figura 10. Prinde și trage: a) înainte; b) trage; c) după.

5.3 Definirea lamei

Se bazează pe gesturi clic consecutive în scenă: primul definește punctul de început al tăișului, al doilea punctul de sfârșit al tăișului, iar al treilea punctul care oferă orientarea lamei (Figura 11).

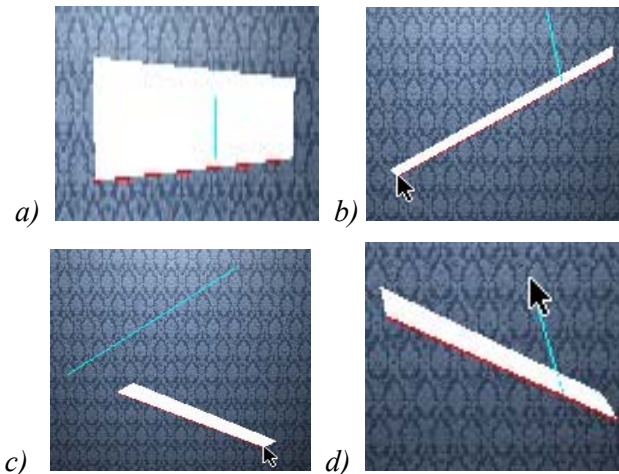


Figura 11. Definiere lamă: a) inițială; b) modificare început; c) modificare sfârșit; d) modificarea orientării.

5.4 Operația de tăiere

În funcție de parametrii săi definitorii, obiectul volumetric 3D răspunde într-un anumit mod la operația de tăiere. Spre exemplu, dacă obiectul volumetric este unul foarte rigid, adică are o structură foarte stabilă, în urma tăierii cu prima lamă predefinită (deasupra și pe diagonală) rezultă două obiecte disjuncte care își păstrează forma și poziția (Figura 12.a).

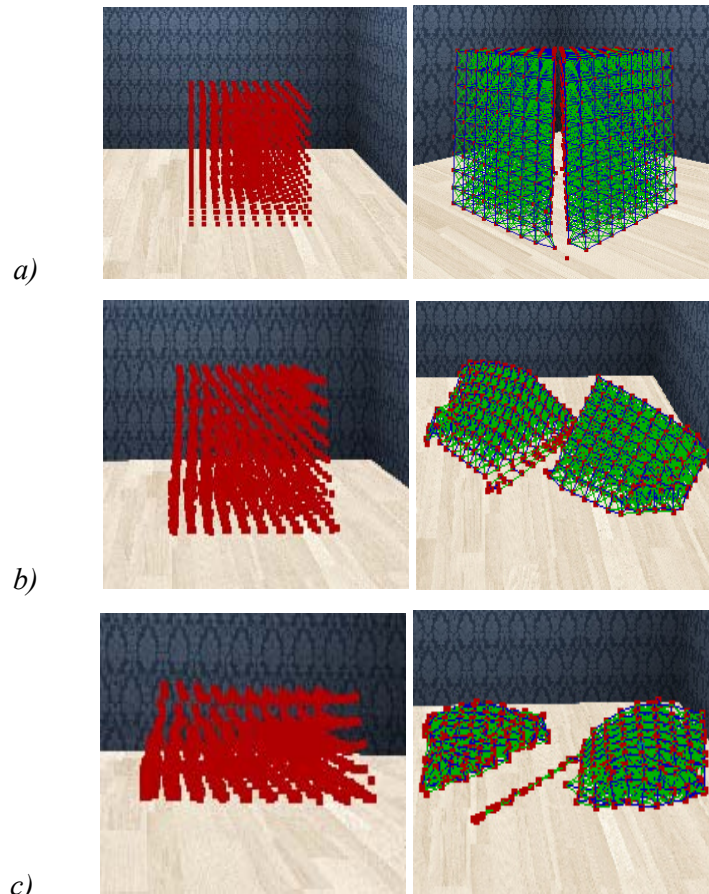


Figura 12. Operația de tăiere: a) obiect foarte rigid; b) obiect moale; c) obiect foarte moale.

Dacă obiectul este mai moale, adică are o structură mai puțin stabilă, și tăiem cu aceeași lamă, cele două obiecte își păstrează forma dar nu și poziția (Figura 12b). Dacă obiectul este foarte moale, adică prezintă o stabilitate

mică a structurii, în urma tăierii cu aceeași lamă, obiectele rezultate nu își păstrează nici forma și nici poziția (Figura 12c). Aceste rezultate pot fi observate în figurile de mai jos:

5. Concluzii și dezvoltări ulterioare

Pornind de la modelarea suprafețelor textile (Sabou Adrian, 2012), am realizat modelarea obiectelor volumetrice 3D, pentru care am construit tehnici particularizate de interacțiune, precum este operația de tăiere.

În această lucrare s-au prezentat simularea și interacțiunea cu obiectele volumetrice 3D dinamice modelate prin particule. Utilizatorul poate interacționa în timp real cu obiectul 3D definit prin intermediul tehnicilor descrise mai sus. Experimentele efectuate au confirmat viabilitatea soluțiilor propuse.

Ca direcții viitoare de cercetare ne propunem să experimentăm simularea și interacțiunea cu obiecte 3D deformabile pe arhitecturi distribuite, precum clusterile grafice, în vederea îmbunătățirii performanțelor și pentru a obține o soluție scalabilă.

Referințe

- Arnab S., Vinesh Raja (2013, August). A deformable surface model with volume preserving springs. *Proceedings of the 5th International Conference on Articulated Motion and Deformable Objects* (pp. 259-268). New York: Springer
- Barbic, J. (2010, Noiembrie 5). Simulating a Jello Cube. *MIT's Computer Science and Artificial Intelligence Laboratory (CSAIL)* : <http://people.csail.mit.edu>
- Bose, M. , Rajagopala, V. (2012, Iulie 30). Physics engine on reconfigurable processor — Low power optimized solution empowering next-generation graphics on embedded platforms. *Computer Games (CGAMES), 2012 17th International Conference, Louisville, KY*
- Bourke, P. (1998, Februarie). Particle System Example.
<http://paulbourke.net/miscellaneous/particle/>
- Copândean D., Sabou A., Gorgan D. (2013, Septembrie). Interacțiunea utilizatorului cu obiecte 3D modelate prin particule. *Conferința Națională de Interacțiune Om-Calculator, Cluj-Napoca, România*
- David B., A. W. (1998). Large Steps in Cloth Simulation. *COMPUTER GRAPHICS Proceedings, Annual Conference Series, (p. 12). Orlando.*

- Firth, P. (2011, Aprilie 6). Physics engines for dummies. *Wildbunny*:
<http://www.wildbunny.co.uk/blog/2011/04/06/physics-engines-for-dummies/>
- Fredrik, F. (2011, Iunie). Real-Time Rigid Body Interactions. *Norwegian University of Science and Technology, Department of Computer and Information Science*
- Georgii J., Ehtler F., Westermann R., (2005). Interactive Simulation of Deformable Bodies on GPUs . Computer Graphics and Visualization Group. *Technische Universität München, Germany*
- Hong M., Jung S., Min H. C., Welch S. (2005, Iulie). Fast Volume Preservation for Realistic Muscle Deformation. *Proceedings of the ACM SIGGRAPH 2005 Sketche*
- Muller M., J. S. (2008, August 14). Real Time Physics Class Notes. *Los Angeles, California, USA*.
- Munshi, A. (2009, Iunie 10). The OpenCL Specification. *Khronos*:
<http://www.khronos.org/registry/cl/specs/opencl-1.0.29.pdf>
- Pawasauskas J. (1997, Februarie 17). Volume Visualization With Ray Casting. *CS563 - Advanced Topics in Computer Graphics*
- Provot, X. (1996). Deformation Constraints in a Mass-Spring Model. *Institut National de Recherche en Informatique et Automatique (INRIA)* .
- Sabou A. (2012, August 30). Particle based modelling and processing of high resolution and large textile surfaces. *Intelligent Computer Communication and Processing (ICCP), 2012 IEEE International Conference*